

- [4] Н. А. Романюк, И. И. Половинко, И. Ф. Виблый. Опт. и спектр.,  
42, 572, 1977.
- [5] Л. Д. Кисловский, Е. К. Галанов, Л. А. Шувалов. Опт. и спектр.,  
24, 100, 1968.
- [6] В. Ф. Шабанов, А. В. Сорокин, Изв. АН СССР, сер. физ., 39, 734, 1975.
- [7] Н. А. Романюк, А. М. Костецкий, И. Ф. Виблый. УФЖ, 21,  
207, 1976.
- [8] Н. А. Романюк, З. С. Василина, ФТТ, 18, 5, 1976.

Поступило в Редакцию 16 декабря 1976 г.

УДК 539.184

**НАБЛЮДЕНИЕ МАГНИТНОГО РЕЗОНАНСА  
В ОСНОВНОМ  ${}^1S_0$ -СОСТОЯНИИ  
ОПТИЧЕСКИ ОРИЕНТИРОВАННЫХ АТОМОВ  ${}^3\text{He}$   
С ПОМОЩЬЮ ПОПЕРЕЧНОЙ МОДУЛЯЦИИ  
МАГНИТНОГО ПОЛЯ**

*С. П. Дмитриев, Р. А. Житников и А. И. Окуневич*

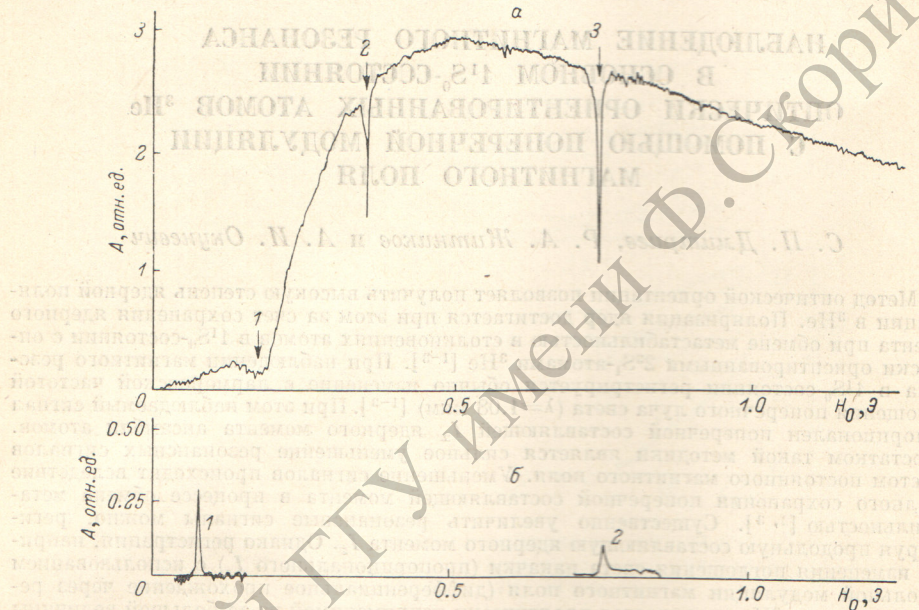
Метод оптической ориентации позволяет получить высокую степень ядерной поляризации в  ${}^3\text{He}$ . Поляризация ядер достигается при этом за счет сохранения ядерного момента при обмене метастабильностью в столкновениях атомов в  ${}^1S_0$ -состоянии с оптически ориентированными  ${}^2S_1$ -атомами  ${}^3\text{He}$  [1-3]. При наблюдении магнитного резонанса в  ${}^1S_0$ -состоянии регистрируется обычно изменение с ларморовской частотой поглощения поперечного луча света ( $\lambda=1.08 \text{ мкм}$ ) [1-3]. При этом наблюдаемый сигнал пропорционален поперечной составляющей  $I_x$  ядерного момента ансамбля атомов. Недостатком такой методики является сильное уменьшение резонансных сигналов с ростом постоянного магнитного поля. Уменьшение сигналов происходит вследствие неполного сохранения поперечной составляющей момента в процессе обмена метастабильностью [2, 3]. Существенно увеличить резонансные сигналы можно, регистрируя продольную составляющую ядерного момента  $I_z$ . Однако регистрация, например, изменения поглощения света накачки (пропорционального  $I_z$ ) с использованием продольной модуляции магнитного поля (дифференциальное прохождение через резонанс) в случае  ${}^3\text{He}$  оказывается практически неприменимой из-за большой величины времени накачки  $T_p$  ( $T_p \simeq 10^2$  с [1]).

В настоящей работе для наблюдения резонансного изменения продольной составляющей ядерного момента используется поперечная модуляция магнитного поля и регистрация поглощения вспомогательного луча света, направленного вдоль модулирующего поперечного магнитного поля. Показано, что такая методика в случае  ${}^3\text{He}$  позволяет в больших магнитных полях увеличить сигналы магнитного резонанса в основном  ${}^1S_0$ -состоянии более, чем на порядок.

В эксперименте применялась обычная схема оптической ориентации и оптического детектирования. На газоразрядную ячейку, содержащую  ${}^3\text{He}$  при давлении 0.8 тор, падали два луча света от капиллярных ламп, наполненных  ${}^4\text{He}$ . Один луч (накачивающий), распространяющийся по оси  $z$  вдоль постоянного магнитного поля  $H_0$ , был циркулярно поляризован. Второй луч (детектирующий), распространяющийся вдоль оси  $x$ , — неполяризован. Вдоль оси  $x$  были приложены сильное модулирующее поле  $H_1 \cos \Omega t$  и слабое радиочастотное резонансное магнитное поле  $H_1 \cos \omega t$  ( $\omega \gg \Omega$ ). Детектирующий луч после прохождения ячейки и циркулярного анализатора регистрировался фотоприемником. Сигнал с фотоприемника проходил через узкополосный усилитель, настраиваемый на частоту  $\Omega$  или  $\omega$ , к синхронному детектору с постоянной времени  $\tau_{cd}$  и регистрировался самописцем.

На рисунке, *a* представлен сигнал, полученный при настройке усилителя на частоту модуляции  $\Omega$ . Для сравнения на рисунке, *b* приведены резонансные сигналы, наблюдавшиеся по обычной методике в отсутствие модуляции ( $H_\perp = 0$ , усилитель настроен на частоту  $\omega$ ). Из рисунка, *a* видно, что сигнал при поперечной модуляции имеет вид широкой кривой с узкими резонансными линиями 1, 2 и 3. Широкая кривая обусловлена вынужденными колебаниями макроскопического магнитного момента атомов под действием модулирующего поля  $H_\perp$ . Такие колебания рассматривались ранее Бартеневым и Новиковым [4]. Линии 1 и 2 объясняются возбуждением много-квантовых резонансных переходов в  ${}^1S_0$ -состоянии полем  $H_\perp$  (1 — трехквантовый, 2 — пятиквантовый резонансы). Возникновение подобных переходов хорошо известно (см., например, [5]) и в настоящей работе они не рассматриваются. Основной интерес в нашей работе представляет резонансная линия 3, представляющая собой сигнал магнитного резонанса в  ${}^1S_0$ -состоянии под действием поля  $H_1$ , зарегистрированный на

частоте  $\Omega$  поперечной модуляции магнитного поля. Из сравнения с рисунком, б следует, что амплитуда кривой 3 в 14.5 раз больше амплитуды обычного сигнала (кривая 2 на рисунке, б), полученного в отсутствие модуляции поля. При записи всех сигналов (см. рисунок) радиополе  $H_1$  было одинаково. Величина его была выбрана по максимуму сигнала 2 на рисунке 1, б. Следует отметить, что при поперечной модуляции зависимость сигнала от поля  $H_1$  отличается от соответствующей зависимости для обычного сигнала. В случае поперечной модуляции величина сигнала монотонно растет с полем  $H_1$  и стремится к насыщению, в то время как обычный сигнал с ростом  $H_1$  достигает максимума и затем уменьшается. Сигнал при поперечной модуляции также зависит от значений поля  $H_\perp$  и  $H_0$ . В эксперименте наблюдалась линейная зависимость амплитуды сигнала от отношения  $H_\perp/H_0$  вплоть до значений  $H_\perp/H_0 = 0.15 \div 0.20$ . При дальнейшем росте этого отношения сигнал достигал максимума и далее уменьшался. При  $H_\perp/H_0 \approx 1$  на частоте модуляции наблюдались резонансные сигналы при совпадении комбинационных частот  $\omega \pm n\Omega$  ( $n$  — целое число) с ларморовской частотой  $\omega_f = \gamma_f H_0$  ( $\gamma_f$  — ядерное гиромагнитное отношение).



а — сигналы на частоте  $\Omega$  при поперечной модуляции магнитного поля ( $\Omega/2\pi = 254$  Гц,  $H_\perp = 0.21$  Г,  $\omega/2\pi = 2545$  Гц,  $H_1 = 0.84$  МЭ,  $\tau_{\text{од}} = 1$  с); б — сигналы магнитного резонанса на частоте  $\omega$  в отсутствие модуляции ( $H_\perp = 0$ ,  $H_1 = 0.84$  МЭ,  $\omega/2\pi = 254$  Гц для кривой 1 и  $\omega/2\pi = 2545$  Гц для кривой 2,  $\tau_{\text{од}} = 2$  с).

Аналитическое выражение для сигнала при поперечной модуляции поля не трудно получить в случае большого магнитного поля  $H_0$ , когда выполняются неравенства:  $H_0 \gg H_\perp$  и  $\omega_m \tau \gg 1$  ( $1/\tau$  — скорость обмена метастабильностью для  $2^3S_1$ -атомов  $^3\text{He}$  при столкновениях с атомами в  $1^1S_0$ -состоянии,  $\omega_m = \gamma_m H_0$ ,  $\gamma_m/2\pi = -2.8$  МГц/э — электронное гиромагнитное отношение для атомов  $\text{He}$  в  $2^3S_1$ -состоянии). В этом случае уравнение (4.8) работы [6] для среднего значения компоненты  $\langle F_+ \rangle_{3/2}$  момента  $\mathbf{F}$ , характеризующего под уровень сверхтонкой структуры метастабильного  $2^3S_1$ -состояния (со значением  $F = I + S = 3/2$ ), приобретает вид

$$\frac{d \langle F_+ \rangle_{3/2}}{dt} = i \frac{2}{3} \omega_m \langle F_+ \rangle_{3/2} - i \frac{4}{3} \omega_{\perp m} \cos \Omega t \langle {}^{(0)}F_z \rangle_{3/2}. \quad (1)$$

Здесь  $F_+ = F_x + iF_y$ ,  $\omega_{\perp m} = \gamma_m H_\perp$ ,  $\langle {}^{(0)}F_z \rangle_{3/2}$  — среднее значение продольной составляющей момента  $\mathbf{F}$  в отсутствие поперечной модуляции ( $H_\perp = 0$ ). Решение этого уравнения

$$\langle F_x \rangle_{3/2} = \frac{H_\perp}{H_0} \langle {}^{(0)}F_z \rangle_{3/2} \cos \Omega t, \quad \langle F_y \rangle_{3/2} = 0. \quad (2)$$

При магнитном резонансе в поле  $H_1$  для величины  $\langle {}^{(0)}F_z \rangle_{3/2}$  по формулам (2.7, 4.5) работы [6] получается

$$\langle {}^{(0)}F_z \rangle_{3/2} = \frac{10}{3} \langle {}^{(0)}I_z \rangle_f + \frac{7}{2} \frac{\tau}{\tau_p} \Phi, \quad (3)$$

где  $\langle \langle^{(0)} I_z \rangle \rangle_f = I_0 \left[ 1 - \frac{(T_1/T_2) \omega_{1f}^2}{(1/T_2)^2 + (\omega_f - \omega)^2 + (T_1/T_2) \omega_{1f}^2} \right]$ . (4)

Здесь  $\tau_p$  — время накачки,  $\Phi$  — величина, зависящая только от характеристик света накачки,  $\omega_{1f} = (1/2) \gamma_f H_1$ ,  $T_1 = T_r$ ,  $T_2 = T$  ( $T$  — время релаксации атомов в основном состоянии за счет столкновений с метастабилиями,  $T_r$  — за счет других факторов).

Наблюдаемый сигнал  $A$  пропорционален величине  $\langle F_x \rangle_{S_{1/2}}$  [7], которая по формулам (2), (3) пропорциональна продольной составляющей  $\langle \langle^{(0)} I_x \rangle \rangle_f$  ядерного момента. Таким образом, при поперечной модуляции осуществляется «поперечное наблюдение» продольной составляющей ядерного момента. По формулам (2)–(4) наибольшая амплитуда сигнала (при  $\omega_{1f} \gg \sqrt{1/T_1 T_2}$ ) равна  $\beta (10/3) (H_\perp / H_0) I_0$  ( $\beta$  — коэффициент пропорциональности). В отсутствие модуляции ( $H_\perp = 0$ ) наблюдаемый сигнал пропорционален поперечной составляющей  $\langle \langle^{(0)} I_x \rangle \rangle_f$  ядерного момента [6], и наибольшая амплитуда сигнала (при  $\omega_{1f} = 1/\sqrt{T_1 T_2}$ ) равна  $\beta (5/6) \sqrt{T_2/T_1} (I_0/\omega_m \tau)$ . Отношение максимальных значений сигналов с модуляцией и без нее равно  $4\omega_{1f}\tau \sqrt{T_1/T_2}$ . Для  ${}^3\text{He}$   $T_1 \gg T_2$  ( $T_1 \approx 10^2 \div 10^3$  с,  $T_2 \approx 10^{-1}$  с [6]), поэтому сигнал с поперечной модуляцией много больше сигнала без модуляции. Так, при  $H_\perp = 0.21$  Э,  $\tau = 1.47 \cdot 10^{-7}$  с (при давлении  $p = 0.8$  тор и сечении обмена метастабильностью  $\sigma = 7.6 \cdot 10^{-16} \text{ см}^2$  [8]),  $T_1 = 10^2$  с,  $T_2 = 10^{-1}$  с выигрыш в величине сигнала равен 68, что совпадает по порядку величины с данными эксперимента.

### Литература

- [1] F. D. Colegrove, L. D. Scheager, G. K. Walters. *Phys. Rev.*, **132**, 2561, 1963.
- [2] R. B. Partridge, G. W. Series. *Proc. Phys. Soc.*, **88**, 983, 1966.
- [3] A. Dönszelmann. *Physica*, **56**, 138, 1971.
- [4] O. A. Бартенев, Л. Н. Новиков. ПТЭ, № 5, 129, 1972.
- [5] J. M. Winter. *Ann. Phys.*, **4**, 745, 1959.
- [6] J. Dupont-Roc, M. Leduc, F. Laloe. *J. Phys.*, **34**, 961, 977, 1973.
- [7] R. C. Greenhow. *Phys. Rev.*, **136**, 3A, 660, 1964.
- [8] J. Dupont-Roc, M. Leduc, F. Laloe. *Phys. Rev. Letts.*, **27**, 467, 1971.

Поступило в Редакцию 22 декабря 1976 г.

## ПОЛЯРИЗАЦИЯ АКТИВНОЙ СРЕДЫ МНОГОМОДОВОГО ГАЗОВОГО ЛАЗЕРА ПРИ МОДУЛЯЦИИ ВОЗБУЖДЕНИЯ

*M. N. Бурнашев*

В ряде случаев в экспериментах и точных измерениях используются газовые лазеры (ГЛ) в многомодовом режиме [1–3]. Пределы точности измерений с помощью ГЛ зачастую определяются уровнем технических флуктуаций накачки в активном элементе. В связи с этим представляет интерес задача получения уравнений ГЛ в многомодовом режиме при модуляции возбуждения в активном элементе с учетом как синфазной по длине капилляра, так и волновой составляющих модуляции (таким образом, можно моделировать страты в положительном столбе газового разряда [4]).

Запишем функцию возбуждения рабочих атомов на уровень  $a=a$ ,  $b$  при наличии страт в активном элементе следующим образом [4, 5]:

$$\Lambda_a(z_0, t_0) = \Lambda_a^0 \{ 1 + m_a^{(W)} \exp [d_c(z_0 - z_1)] \cos [\omega_c t_0 + k_c(z_0 - z_1) + \varphi_a] + m_a^{(I)} \cos (\omega_c t_0 + \varphi_a + \varphi_c) \}, \quad (1)$$

где  $z_0 \in [z_1, z_2]$  — положение атома в момент  $t_0$  его возбуждения на уровень  $a$ ;  $z_1, z_2$  — координаты концов капилляра;  $m_a^{(I)}$  и  $m_a^{(W)}$  — амплитуды синфазной и волновой (у катода) составляющих модуляции соответственно;  $\varphi_a$  — сдвиг фаз между модуляцией  $\Lambda_a(z_0, t_0)$  и  $\Lambda_a(z_0, t_0)$ ;  $\Lambda_a^0$  — функция возбуждения рабочих атомов в отсутствие модуляции; остальные параметры определены в [4]. Такая запись  $\Lambda_a(z_0, t_0)$  соответствует начальной стадии страт в положительном столбе. Введение модуляции накачки в виде (1) обладает достаточной степенью общности: если положить  $m_a^{(W)}=0$ , то с помощью (1) можно описать гармоническую модуляцию накачки ГЛ от внешнего генера-